

НЕКОТОРЫЕ ВОПРОСЫ ВЫБОРА ПАРАМЕТРОВ  
ГИДРОПРИВОДА С ДРОССЕЛЬНЫМ РЕГУЛИРОВАНИЕМ  
СКОРОСТИ

Ю. Я. КОМИСАРЕНКО, П. Я. КРАУИНЬШ

(Представлена научным семинаром кафедры горных машин и рудничного транспорта)

Гидравлический привод в станках находит все большее применение, широкое распространение получает, например, привод главного движения в дроссельным регулированием скорости, упрощенная схема которого представлена на рис. 1.

Практика эксплуатации таких систем показывает, что в ряде случаев системы оказываются неработоспособными из-за интенсивных автоколебаний. Исследования, проведенные И. З. Зайченко [1] по изучению автоколебаний в гидропередачах станков, показали, что необходимыми условиями для возникновения колебаний являются падающая характеристика сил сопротивления от скорости и упругость гидравлических связей.

Так как крутизна характеристики нагрузки  $\frac{\partial R}{\partial V}$  может меняться в реальных условиях, то при проектировании привода возникает задача — выбрать параметры привода (т. е. площади  $F$  и  $F_1$  цилиндра, величину противодавления  $p_1$  и т. д.) так, чтобы система обладала максимально возможным в данных условиях запасом устойчивости.

Для решения этой задачи обратимся к линейной математической модели системы с дросселем на выходе. При выборе уравнений будем считать давление  $p$  на входе постоянным, волновыми процессами пре-небрежем, ограничимся рассмотрением тех переходных процессов, при которых скорость поршня  $V$  и противодавление  $p_1$  остаются положительными.

С учетом принятых допущений получим систему уравнений, описывающих переходный процесс, вызванный изменением нагрузки  $R(t; V)$ :

$$\left. \begin{aligned} \frac{d\Delta V}{dt} &= \frac{\alpha}{m} \Delta V - \frac{F_1}{m} \Delta p_1 - \frac{1}{m} \Delta R_h \\ \frac{d\Delta p_1}{dt} &= \frac{F}{W\kappa(p)} \Delta V - \frac{1}{W\kappa(p)} \Delta Q_{dp} \\ \Delta Q_{dp} &= \varphi_{dp} \Delta p_1 \end{aligned} \right\} \dots \quad (1)$$

здесь  $\Delta V \equiv V(t) - V_0$ ;  $\Delta p_1 \equiv p_1(t) - p_{10}$ ;  $\Delta R_h \equiv R_h(t) - R_{h0}$ ;  
где  $\Delta Q_{dp} \equiv Q_{dp}(t) - Q_{dp0}$ ;

$V$  и  $p_1$  — скорость движения поршня и перепад давления на дросселе соответственно;  
 $Q_{dp}$  — расход через дроссель;  
 $m$  — масса подвижных частей;  
 $F_1$  — рабочая площадь поршня со стороны противодавления;

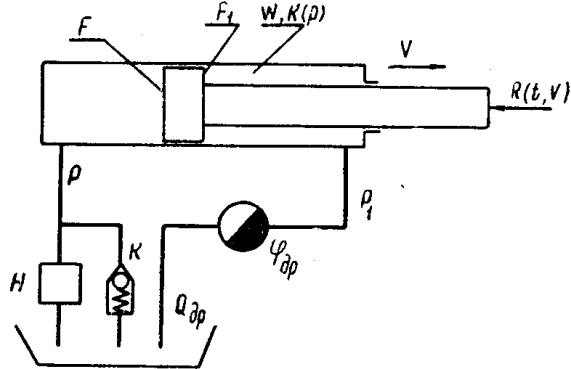


Рис. 1. Схема гидропривода с дроссельным регулированием скорости

$W; \kappa(p)$  — объем и коэффициент податливости полостей, находящихся под давлением  $p_1$  соответственно;

$R_u$  — внешняя нагрузка,  $\alpha = -\frac{\partial R_u}{\partial V}$  — крутизна характеристики нагрузки;

$\varphi_{dp} = \frac{\partial Q_{dp}}{\partial p_1}$  — податливость дросселя.

Если переменные системы (1) выразить в безразмерных координатах и решить систему относительно скорости  $V$ , то получим уравнение:

$$\frac{d^2 v}{dt^2} + \frac{1}{T_p} \left( 1 - \frac{T_p}{T_V} \eta_V \right) \frac{dv}{dt} + \frac{1}{T_p T_V} (1 - \eta_V) v = -\frac{1}{T_V} \frac{dR}{dt} - \frac{1}{T_V T_p} R \dots (2)$$

здесь

$$v = \frac{\Delta V}{V_0}; \quad R = \frac{\Delta R_u}{R_{ho}}; \quad R_{ho} = p_{1y} F_1 \eta_V = \frac{\alpha \varphi_{dp}}{F_1^2}; \quad p_{1y} = V_0 F_1 \frac{1}{\varphi_{dp}};$$

$$T_V = \frac{m \varphi_{dp}}{F_1^2}; \quad T_p = \frac{W \kappa(p)}{\varphi_{dp}}.$$

Таким образом, мы имеем динамическую систему второго порядка, для ее устойчивости необходимо и достаточно положительности всех коэффициентов, т. е.

$$\eta_V < 1; \quad \frac{T_p}{T_V} \eta_V < 1.$$

Если воспользоваться диаграммой в координатах  $A = \frac{\alpha \varphi_{dp}}{F_1^2}$ ;  $B = \frac{\alpha W \kappa(p)}{\varphi_{dp} m_{dp}}$  (рис. 2), то областью устойчивости будет квадрат, ограничен-

ный осями координат и прямыми  $A=1$ ;  $B=1$ . На этой диаграмме можно найти область апериодической устойчивости, которой соответствует наличие действительных корней уравнения (2); для этого должно быть соблюдено условие:

$$\frac{1}{4} \left[ \frac{1}{T_p} \left( 1 - \frac{T_p}{T_V} \eta_V \right) \right]^2 - \frac{1}{T_p T_V} (1 - \eta_V) > 0 \dots \quad (3)$$

Граница апериодической устойчивости определится, если левую часть (3) приравнять нулю. Сделав необходимые преобразования, получим уравнение границы апериодической устойчивости:  $A = \frac{4B}{(B+1)^2}$ . Эта граница (линия  $G$  на рис. 2) разбивает область устойчивости на две: I — область апериодической устойчивости; II — область колебательной устойчивости.

Если задаться определенными параметрами системы, то этой системе будет соответствовать определенная точка на диаграмме  $A — B$ ,

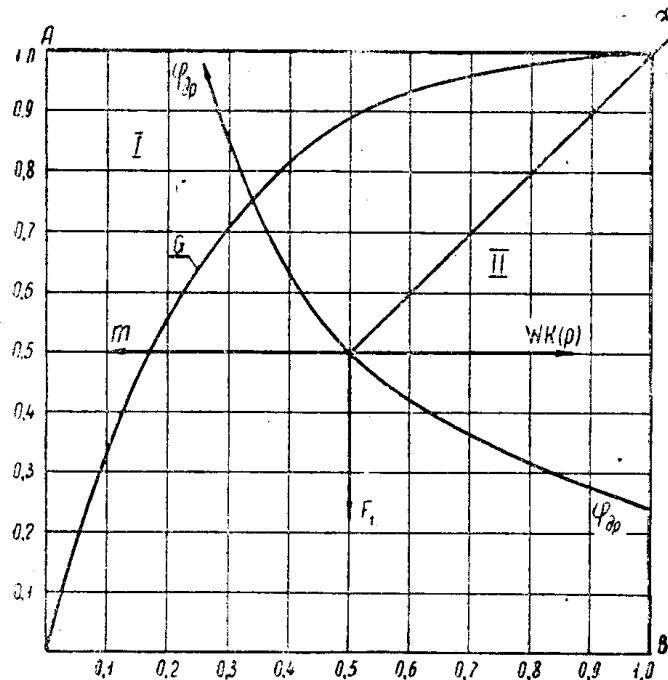


Рис. 2. Диаграмма устойчивости системы: I — область апериодической устойчивости; II — область колебательной устойчивости; G — граница апериодической устойчивости

назовем эту точку изображающей\*). При изменении какого-либо параметра системы изображающая точка опишет траекторию, показывающую влияние этого параметра на устойчивость системы.

Так, из рис. 2, где нанесены такие траектории, видно, что увеличение массы  $m$ , площади  $F_1$  цилиндра увеличивают устойчивость, а увеличение податливости системы  $WK(p)$  и увеличение крутизны  $\alpha$  характеристики нагрузки уменьшают устойчивость. Здесь же видно, что система может быть неустойчива как при слишком малом значении податливости дросселя  $\varphi_{dp}$ , так и при слишком большом ее значе-

\* ) Не путать с понятием «изображающая точка», применяемым при построении фазового портрета системы.

ни. Физически это можно объяснить тем, что максимальная способность дросселя рассеивать энергию имеет место при определенном значении податливости.

Считая параметры  $m$ ,  $F_1$ ,  $W\kappa(p)$  заданными, максимально возможной устойчивости можно добиться, варьируя податливостью дросселя  $\varphi_{dp}$  так, чтобы изображающая точка была равно удалена от обеих границ области устойчивости.

Математически это выражается равенством  $A=B$ , т. е.  $\eta_v=\eta_p \frac{T_p}{T_v}$  или  $T_p=T_v$ , откуда находим оптимальное значение податливости дросселя:

$$\varphi_{dp}^* = F_1 \sqrt{\frac{W\kappa(p)}{m}}. \quad \dots \quad (4)$$

При отклонении действительного значения податливости от оптимального  $\varphi_{dp}^*$  система будет приближаться к границе устойчивости.

Если под запасом устойчивости понимать соотношение  $\beta = \frac{\alpha_{max}}{\alpha_0}$ ; где  $\alpha_0$  — номинальное значение крутизны характеристики нагрузки, а  $\alpha_{max}$  — ее значение, при котором система теряет устойчивость, то зависимость запаса устойчивости от податливости дросселя  $\varphi_{dp}$  может быть представлена графиком, изображенным на рис. 3. На этом же рисунке

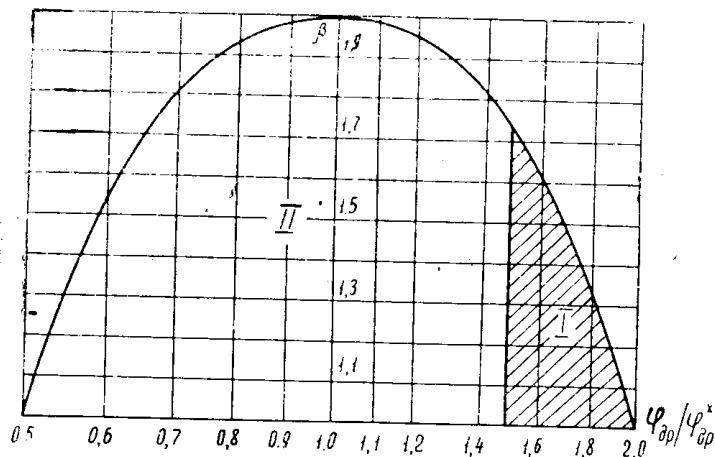


Рис. 3. Зависимость запаса устойчивости системы от податливости дросселя. График построен применительно к следующим параметрам:  $m=4$  кг сек/см<sup>2</sup>;  $F_1=170$  см<sup>2</sup>;  $t_1=71$  сек;  $P=75$  кг/см<sup>2</sup>;  $P_{10}=85$  кг/см<sup>2</sup>;  $V_0=60$  см/сек;  $R_0=7190$  см;  $W\kappa(p)=2$  см<sup>5</sup>/кг;  $a=5$  кг сек/см;  $\varphi_{dp}^*=56$  см/сек кг

видно, что область апериодической устойчивости соответствует примерно 1/4 диапазона допустимого изменения податливости дросселя; запас устойчивости в этой области также значительно ниже оптимального.

#### ЛИТЕРАТУРА

1. И. З. Зайченко. Автоколебания в гидропередачах металлорежущих стакнов. Машгиз, М., 1958.
2. В. Н. Прокофьев. Расчет вынужденных колебаний гидропривода. «Вестник машиностроения», № 12, 1967.